

· 论著 ·

文章编号: 1007-8738(2013)02-0132-05

表达 PD-L1/PD-L2 的人胎盘间充质干细胞对外周血 T 细胞分泌 IL-17 的拮抗作用

王国艳^{1,2}, 王斐斐¹, 李恒¹, 张丽霞¹, 颜希英^{1*}(滨州医学院免疫教研室, 山东 烟台 264003; ²滨州医学院烟台附属医院检验科, 山东 烟台 264100)

[摘要] 目的 探讨程序性死亡因子配体 1(PD-L1)和 PD-L2 在人胎盘源性间充质干细胞(hPMSCs)上表达对外周血 T 细胞分泌 IL-17 的影响。方法 应用酶消化法分离人胎盘间充质干细胞(hPMSCs), 并进行表型及分化鉴定; RT-PCR、激光扫描共聚焦显微镜技术(LSCM)及流式细胞术(FCM)检测 hPMSCs 上 PD-L1 及 PD-L2 的表达; 应用化学合成的 PD-L1 siRNA、PD-L2 siRNA 沉默 hPMSCs 上 PD-L1 及 PD-L2 表达; 密度梯度离心法分离纯化人外周血 T 细胞; 细胞内因子染色法分析沉默 PD-L1 或 PD-L2 后 hPMSCs 对 PMA 活化的 T 细胞分泌 IL-17 的影响。结果 除 PD-L1 外, hPMSCs 高表达 PD-L2; siRNA 能够有效阻断 PD-L1 和 PD-L2 在 hPMSCs 上的表达; 细胞内染色结果显示, hPMSCs 能够上调 T 细胞 IL-17 的分泌, 阻断 PD-L1 或 PD-L2 后, T 细胞 IL-17 的分泌被进一步上调, 且 PD-L1 和 PD-L2 具有叠加作用。结论 PD-L1 和 PD-L2 在 hPMSCs 上表达, 可拮抗 hPMSCs 刺激外周血 T 细胞分泌 IL-17 的作用。

[关键词] 人胎盘源性间充质干细胞; PD-L1; PD-L2; T 细胞; IL-17

[中图分类号] R394.2 **[文献标志码]** A

PD-L1/PD-L2 on human placenta-derived mesenchymal stem cells inhibits the IL-17 secretion of peripheral blood T cells

WANG Guoyan^{1,2}, WANG Feifei¹, LI Heng¹, ZHANG Lixia¹, LUAN Xiying^{1*}¹Department of Immunology, Binzhou Medical University, Yantai 264003; ²Department of Clinical Laboratory, Affiliated Yantai Hospital, Binzhou Medical University, Yantai 264100, China

[Abstract] Objective To investigate the expressions of programmed death ligand 1 (PD-L1) and PD-L2 in human placenta-derived mesenchymal stem cells (hPMSCs) and their mediated immunoregulation on the secretion of IL-17 of peripheral blood T cells. Methods hPMSCs were isolated from mature human placenta by the method of enzyme digestion. The cells were cultured and expanded *in vitro*, and after the third passage, they were used in phenotyping and differentiation experiments. The expressions of PD-L1 and PD-L2 were detected by RT-PCR, laser-scanning confocal microscopy (LSCM) and flow cytometry. Specific siRNAs were transfected into hPMSCs via cathodolyte liposome transfection method to silence the expressions of PD-L1 and PD-L2. T cells were sorted from healthy peripheral blood by gradient centrifugation. IL-17 secretion of T cells activated by PMA was detected by intracellular staining after the expressions of PD-L1 and PD-L2 were silenced. Results Besides PD-L1, hPMSCs also highly expressed PD-L2, which could be silenced effectively by specific siRNA. Intracellular staining showed that hPMSCs up-regulated the secretion of IL-17, which was further up-regulated after PD-L1 or/and PD-L2 had been silenced and there were overlapping roles of PD-L1 and PD-L2 in inhibiting IL-17 secretion by T cells. Conclusion PD-L1 and PD-L2 expressed on hPMSCs could inhibit the hPMSCs-mediated up-regulation on the expression of IL-17 secreted by peripheral blood T cells.

[Key words] hPMSCs; PD-L1; PD-L2; T cells; IL-17

间充质干细胞(mesenchymal stem cells, MSCs)是来源于中胚层的成体干细胞, 体外具有自我更新及多向分化能力, 在特定诱导条件下可分化为成骨细

胞、脂肪细胞和神经元样细胞等, 是一种较为理想的组织工程的种子细胞。MSCs 还具有抑制同种异体免疫反应和降低移植物抗宿主病(graft-versus-host disease)

收稿日期: 2012-09-07; 接受日期: 2012-10-11

基金项目: 山东省科技发展计划资助(2011GGH21818); 山东省医药卫生发展计划资助(2007HZ039); 滨州医学院科研启动基金(BY2007KYQD09)

作者简介: 王国艳(1986-), 女, 山东烟台人, 初级技师, 硕士

Tel: 13583569041; E-mail: wgy1201@163.com

* Corresponding author, 颜希英, E-mail: xiyingluan@yahoo.com.cn

ase, GVHD)的作用。但其免疫调节机制目前尚未完全清楚。目前已成功从骨髓^[1]、脐带^[2]、脐血^[3]、肌肉^[4]、胎盘^[5]等多种组织中分离出MSCs。人胎盘作为产后组织含有丰富的MSCs,且人胎盘源MSCs(human placenta derived mesenchymal stem cells, hPMSCs)有着与骨髓MSCs相似的细胞表型和分化能力^[6],且其对T细胞的负性免疫调节作用强于骨髓MSCs^[5]。我们前期研究显示,hPMSCs体外能够抑制T细胞的活化和增殖,并且能够抑制PHA活化的T细胞IL-2和IFN-γ的分泌^[7-8]。hPMSCs是否能够调节外周血T细胞IL-17的分泌,尚未见相关文献报道。负性共刺激分子在MSCs的负性免疫调节作用中发挥了重要的作用,且负性共刺激分子PD-L1在hPMSCs表面高表达。我们前期研究发现PD-L1在hPMSCs抑制T细胞增殖中发挥重要的作用^[9],并且hPMSCs同样高表达PD-L2。那么PD-L1和PD-L2是否参与了hPMSCs对外周血T细胞分泌IL-17的免疫调节作用,尚未见相关文献报道。鉴于此,本实验采用化学合成siRNA阻断PD-L1和PD-L2在hPMSCs上的表达,探讨两者在hPMSCs调节外周血T细胞分泌IL-17中的作用。

1 材料和方法

1.1 材料 低糖DMEM培养基(DMEM-LG)、胎牛血清(fetal bovine serum, FBS)为Hyclone公司产品,IV型胶原酶为美国Gibco公司产品,PE或FITC标记的小鼠抗人CD34、CD45、CD44、CD105、CD166、CD14、CD29、CD273、CD274、CD3、CD4、CD8、IL-17单克隆抗体(mAb)均购自BD公司;PMA、离子霉素C、布雷非德菌素A(Brefeldin A,一种转运蛋白抑制剂)、流式细胞术细胞内染色固定缓冲液、10×破膜缓冲液均购自Sigma公司,淋巴细胞分离液购自天津灏洋生物制品科技有限责任公司。

1.2 方法

1.2.1 hPMSCs分离、培养和鉴定 人胎盘组织来自健康足月产妇(烟台莱山区第一人民医院),供者知情同意。参考相关文献[5]进行hPMSCs分离培养,将胎盘去除绒毛膜、羊膜和蜕膜组织,PBS缓冲液反复冲洗,洗净残留血液。将胎盘组织剪碎后加入1g/L IV胶原酶,37℃消化30 min,100目筛网研磨,收集细胞,1 500 r/min离心5 min,PBS缓冲液洗涤2次,加入DMEM-LG重悬细胞,细胞计数后,接种于6孔板,于37℃、50 mL/L CO₂条件下培养。3 d半量换液,去除未贴壁的悬浮细胞。之后每3~4 d更换培养基,7~8 d传代1次。3代以后的细胞用于实验,根据细胞形态、细胞表面抗原CD34、CD45、CD14、CD29、CD44、CD105和CD166的表达和定向诱导其向成骨细胞、脂肪细胞和神经元样细胞分化进行鉴定。

1.2.2 hPMSCs对PD-L1和PD-L2的表达 收集hPMSCs,采用TRIzol一步法抽提细胞总RNA,加入引物和逆转录酶,利用常规方法合成cDNA。引物根据Primer Express Software

(Primer 5.0)进行设计。引物序列:β-actin:上游引物5'-GGCACCCAGCACAAATGAA-3',下游引物5'-GGAAGGTGGA-CAGCGAGG-3';PD-L1:上游引物5'-ATCCAGTCACCTCTGAA-CATGAAC-3',下游引物5'-GGAAGATGAATGTCAGAGCTAAC-3';PD-L2:上游引物5'-GTTCCACATACCTCAAGTC-CAACT-3',下游引物5'-TCCCTCACGTGAGTATTCCAGAAC-3'。按2×Tag PCR Master Mix试剂盒说明书操作,取等量cDNA进行PCR反应,PCR产物经10 g/L琼脂糖凝胶电泳分析。另收集hPMSCs,调整细胞密度为1×10⁶/mL加入FITC标记的鼠抗人PD-L1的mAb、PE标记的小鼠抗人PD-L2的mAb,4℃孵育30 min,PBS洗涤2遍后,LSCM及FCM分析。

1.2.3 siRNA转染

收集hPMSCs调整合适浓度,接种于6孔细胞培养板,每孔4×10⁵个,于37℃、50 mL/L CO₂条件下培养24 h。按脂质体转染试剂LipofectamineTM2000说明书操作,将siRNA转染入细胞,siRNA的终浓度为40 pmol/mL。转染后48 h RT-PCR及FCM检测PD-L1和PD-L2的表达。

1.2.4 人外周血T细胞分离纯化

取人健康外周血(烟台市中心血站提供),用淋巴细胞分离液常规分离单个核细胞,D-Hank's洗涤细胞2次,RPMI1640培养基(含100 mL/L FCS)重悬细胞,接种到培养瓶中,贴壁2 h后,吸出富集的T细胞,再经E花环法进行纯化。经FCM分析CD3阳性率大于90.00%以上用于实验。

1.2.5 转染siRNA对hPMSCs凋亡的影响

收集hPMSCs调整细胞密度为2×10⁵/mL,接种于6孔细胞培养板,于37℃、50 mL/L CO₂条件下培养。接种24 h后去除培养基,对hPMSCs进行siRNA转染并分组为:正常培养hPMSCs组;PD-L1 siRNA转染组;PD-L2 siRNA转染组;PD-Ls siRNA转染组;NC siRNA转染组,转染后于37℃、50 mL/L CO₂条件下培养。转染hPMSCs 48 h后,收集各组hPMSCs,1 200 r/min离心5 min,弃上清,加入PBS洗涤第2遍,弃上清。吸取250 μL 2×结合缓冲液、250 μL灭菌去离子水,轻轻混匀。用上述500 μL 1×结合缓冲液,轻轻悬起细胞后,加入1 μL annexin V-FITC,混匀后加入5 μL PI,再次混匀,室温避光孵育5 min后FCM分析。

1.2.6 阻断PD-L1或PD-L2对活化外周血T细胞分泌IL-17的影响

收集hPMSCs调整细胞密度至1×10⁵/mL接种于24孔细胞培养板,接种24 h后去除培养基,对hPMSCs进行PD-L1 siRNA和PD-L2 siRNA转染。siRNA转染hPMSCs 48 h后,将T细胞接种于以上的24孔板中,每孔1×10⁶个细胞,同时加入PMA(50 ng/mL)、离子霉素C(1 μg/mL)和Brefeldin A(10 μg/mL)。实验分组为T、T+PMA、T+PMA+hPMSCs、T+PMA+hPMSCs+NC siRNA、T+PMA+hPMSCs+PD-L1 siRNA、T+PMA+hPMSCs+PD-L2 siRNA、T+PMA+hPMSCs+PD-Ls siRNA 5组。37℃、50 mL/L CO₂培养5 h,收集细胞,PBS缓冲液洗涤2次,弃上清后加入100 μL PBS,振荡混匀;加入FITC标记的鼠抗人CD8 mAb和PE-CY5标记的抗CD4 mAb,振荡混匀,4℃避光孵育30 min;PBS洗涤2遍,弃上清,加入100 μL流式细胞术细胞内染色固定缓冲液混匀,室温避光孵育20 min,加入1 mL 1×破膜缓冲液,300~400 g,4℃离心5 min;弃上清,加入100 μL 1×破膜缓冲液重悬细胞,细胞计数后,加入IL-17 mAb,室温孵育20 min;加入1

mL 1×破膜缓冲液, 振荡混匀, 300 g, 4℃离心 5 min; 弃上清, 加入 500 μL 固定液, FCM 分析。

1.2.7 统计学分析 所有数据均采用 SPSS 13.0 统计软件分析, 数据以 $\bar{x} \pm s$ 表示, 根据方差齐性与否, 齐性资料采用两独立样本 *t* 检验, 非齐性资料采用 *t'* 检验; 以 *P* < 0.05 为差异具有统计学意义。

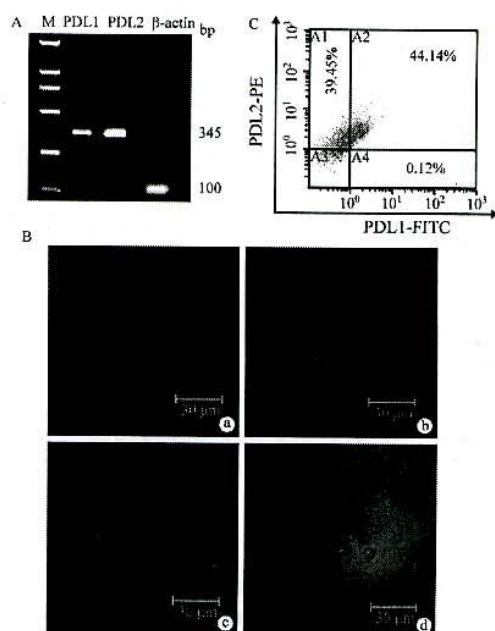
2 结果

2.1 hPMSCs 的分离培养及鉴定结果 原代培养 3 d 首次半量换液后, 出现长梭形的贴壁细胞, 呈单个散在分布, 培养 1 周后梭形贴壁细胞明显增多, 并可见鹅卵石状细胞克隆, 培养 3 周左右细胞大量增殖呈漩涡状铺满板底。培养 3 代后的细胞, 经 FCM 检测表面抗原表达的结果为 CD44⁺、CD105⁺、CD166⁺、CD29⁺、CD14⁻、CD34⁻ 和 CD45⁻; 向成骨诱导分化过程中, 经 von Kossa 染色, 明显可见骨结节的形成; 向脂肪细胞分化过程中, 经油红 O 染色阳性; 向神经样细胞分化过程中, 神经元样蛋白 Nestin 表达阳性与文献[5-6]报道一致。

2.2 hPMSCs 对 PD-L1 和 PD-L2 的表达 RT-PCR (图 1A)、LSCM(图 1B) 及 FCM(图 1C)结果均显示, hPMSCs 高表达 PD-L1 和 PD-L2, 且 PD-L2 的表达水平高于 PD-L1。

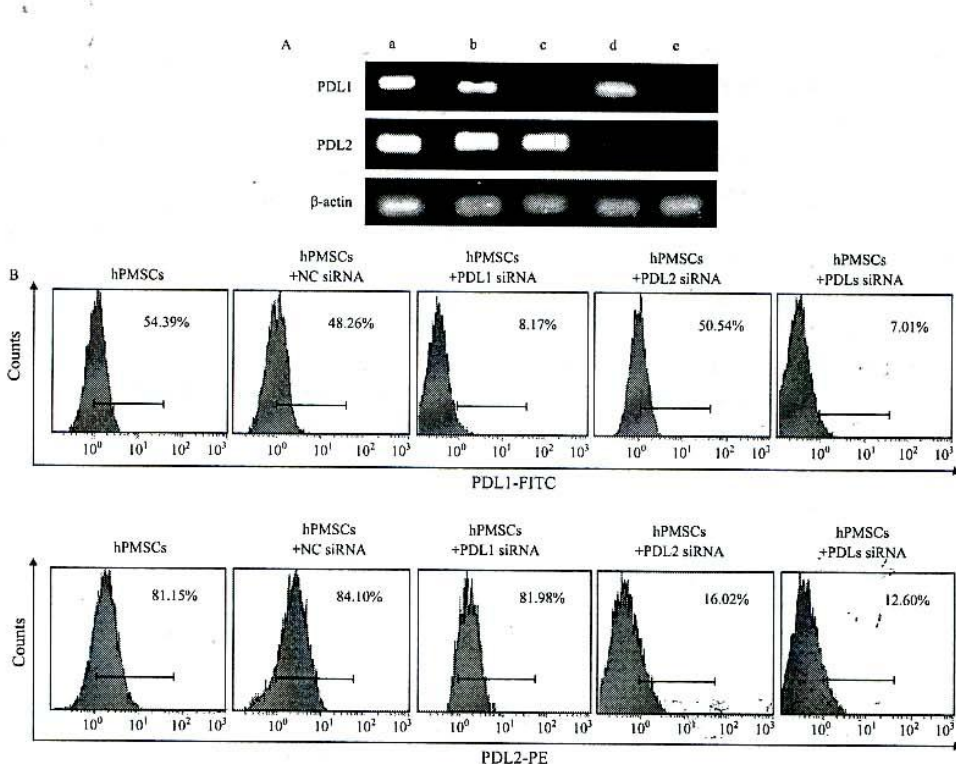
2.3 siRNA 转染结果 siRNA 转染后 48 h, RT-PCR

(图 2A)及 FCM(图 2B)检测结果均显示, siRNA 能有效阻断 PD-L1 和 PD-L2 在 hPMSCs 上的表达。



A: RT-PCR 检测 PD-L1 和 PD-L2 mRNA 在 hPMSCs 中的表达; B: LSCM 检测 PD-L1 和 PD-L2 在 hPMSCs 上的表达. a: PD-L1 的表达; b: PD-L2 的表达; c: PD-L1 和 PD-L2 共表达; d: 明场下 hPMSCs (标尺 = 30 μm); C: FCM 检测 PD-L1 和 PD-L2 在 hPMSCs 上的表达.

图 1 hPMSCs 对 PD-L1 和 PD-L2 的表达



A: 转染 48 h 后 RT-PCR 检测 PD-L1 和 PD-L2 siRNA 在 hPMSCs 中的表达. a: 正常对照组; b: 转染 NC siRNA 组; c: 转染 PDL1 siRNA 组; d: 转染 PDL2 siRNA 组; e: PDL1 siRNA 和 PDL2 siRNA 共转组; B: 转染 48 h 后 FCM 检测 PD-L1 和 PD-L2 在 hPMSCs 上的表达.

图 2 siRNA 转染 48 h 后 PD-L1、PD-L2 在 hPMSCs 上的表达

2.4 转染 siRNA 对 hPMSCs 凋亡的影响 经脂质体途径将 siRNA 转染入 hPMSCs 后, 观察 hPMSCs 的凋亡情况, FCM 分析结果显示, 转染 48 h 之后 hPMSCs 并未发生明显的凋亡(图 3), 表明 siRNA 的转染对细胞的凋亡无明显影响。

2.5 阻断 PD-L1 或 PD-L2 对 hPMSCs 调节外周血 T 细胞分泌 IL-17 的影响 实验采用胞内细胞因子检测方法观察 PD-L1 或 PD-L2 阻断前后 hPMSCs 对 T 细胞分泌 IL-17 调节作用的变化。FCM 分析结果显示(图 4), PMA 作用 5 h 后, 与未刺激组以及单独 PMA 刺激组相比, hPMSCs 与 T 细胞共培养组中 CD4⁺T 以及 CD8⁺T 细胞对 IL-17 的分泌均被明显上调($P < 0.01$), 表明 hPMSCs 能够上调 PMA 活化的 CD4⁺T 细胞以及 CD8⁺T 细胞分泌 IL-17 的水平; 阻断 PD-L1 或 PD-L2 在 hPMSCs 上的表达后, 外周血 CD4⁺T 细胞以及 CD8⁺T 细胞对 IL-17 的分泌被进一

步上调($P < 0.01$), 且 PD-L1 和 PD-L2 具有协同作用($P < 0.01$)。以上结果提示 PD-L1 或 PD-L2 在 hPMSCs 上的表达, 能够抑制 hPMSCs 对外周血 CD4⁺T 细胞和 CD8⁺T 细胞分泌 IL-17 的上调作用。

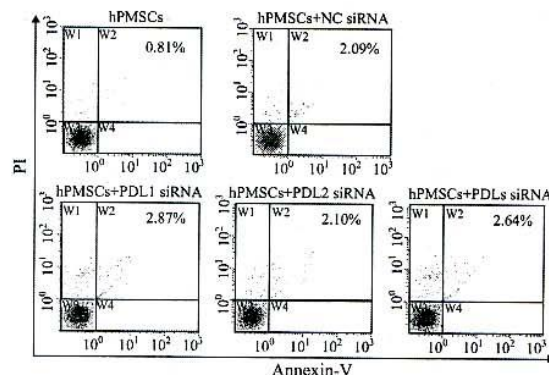
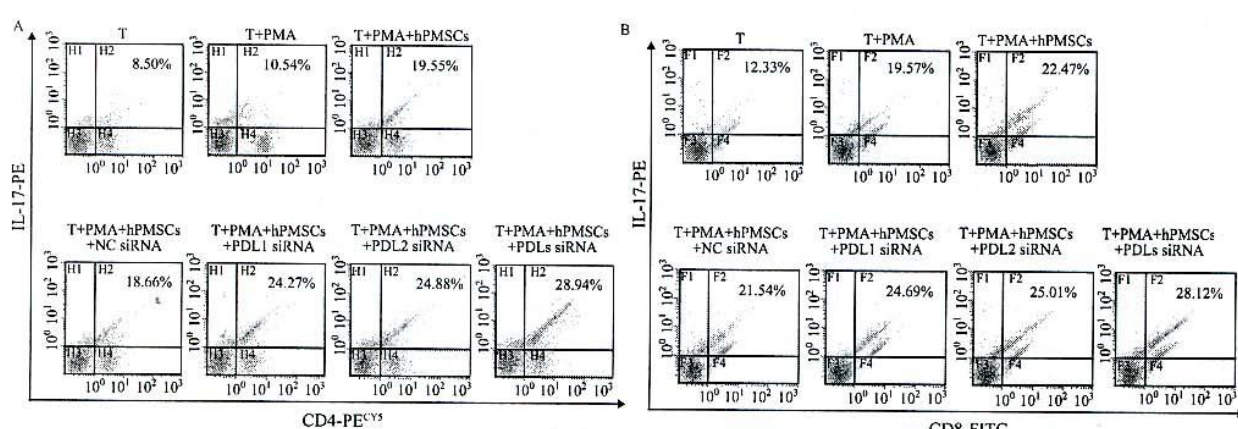


图 3 siRNA 转染 48 h 后 hPMSCs 的凋亡检测



A: FCM 检测 CD4⁺T 细胞对 IL-17 的分泌; B: FCM 检测 CD8⁺T 细胞对 IL-17 的分泌。

图 4 阻断 PD-L1 和 PD-L2 对 hPMSCs 调节外周血 T 分泌 IL-17 的影响

3 讨论

目前关于 MSCs 相对成熟的研究主要集中于骨髓, 但研究资料显示人体骨髓中每 $10^5 \sim 10^6$ 的单个核细胞中约含 1 个 MSCs, 且随着供者年龄的增殖, 其数量、增殖和分化能力急剧下降。现已表明, 人胎盘组织中有丰富的 MSCs, 且胎盘作为产后组织来源丰富, 并且 hPMSCs 因胎盘在人类胚胎发育过程中的特殊地位和作用还可能具有其他潜在的优势。该实验中利用酶消化法分离的细胞, 体外扩增培养 3 代后, 经表型及分化鉴定为 hPMSCs。

IL-17 是一种主要由活化的 T 细胞产生的促炎细胞因子, 具有多种活性, 可以促进 T 细胞的激活和刺激上皮细胞、内皮细胞、成纤维细胞产生多种细胞因子如 IL-6、IL-8、G-CSF 和化学增活素及细胞间

黏附分子 (intercellular adhesion molecule-1, ICAM-1), 从而导致炎症的产生^[10]。患者接受移植发生 GVHD 后, 体内 IL-17 分泌明显高于正常人或未发生 GVHD 的受者, 提示, IL-17 可能在 GVHD 发生过程中发挥重要的作用^[11]。研究显示, 小鼠 BMSCs 能够上调 Th17 细胞的数量, 而且其分泌的 IL-17 在骨髓 MSCs 与 PBMCs 共培养体系中有较高水平的表达^[12]。实验中采用胞内细胞因子染色法对 T 细胞胞内 IL-17 的检测发现, PMA 刺激外周血 T 细胞活化后, IL-17 的表达水平显著升高, 在有 hPMSCs 存在时, IL-17 的表达量进一步增加。提示, hPMSCs 能够上调外周血 CD4⁺T 细胞和 CD8⁺T 细胞对 IL-17 的分泌。

为进一步观察 hPMSCs 表面 PD-L1 和 PD-L2 的

表达在 hPMSCs 调节外周血 T 细胞分泌 IL-17 中的作用, 我们采用化学合成的 siRNA 阻断 PD-L1 和 PD-L2 的表达。siRNA 干扰技术是一种高效、特异的基因沉默手段。siRNA 片段与目的基因 mRNA 的同源序列互补结合, 降解 mRNA, 从而不能翻译成蛋白质^[13-14]。本研究采用化学合成的 PD-L1 siRNA 和 PD-L2 siRNA 片段, 由脂质体介导转染入 hPMSCs, 通过 RT-PCR 及 FCM 分析沉默效果。实验结果证明, 化学合成的 siRNA 能够高效转入 hPMSCs, 并能有效沉默 PD-L1 和 PD-L2 的表达。且沉默 PD-L2 的表达后, hPMSCs 的生长能力并未发生明显的变化。结果显示, 阻断 PD-L1 或 PD-L2 后, PMA 活化的外周血 CD4⁺T 细胞和 CD8⁺T 细胞 IL-17 的分泌明显高于未阻断组 T 细胞 IL-17 的分泌($P < 0.05$); 当 PD-L1 和 PD-L2 同时被阻断后, 外周血 T 细胞对 IL-17 的分泌被进一步上调。提示, PD-L1 或 PD-L2 的表达本身能够拮抗 hPMSCs 对外周血 T 细胞分泌 IL-17 的上调作用, 且 PD-L1 和 PD-L2 具有叠加作用。

综上所述, siRNA 能够有效沉默 PD-L1 和 PD-L2 在 hPMSCs 上的表达, 且阻断 PD-L1 或 PD-L2 后 hPMSCs 的生长能力未发生明显的改变。阻断 PD-L1 或 PD-L2 后, 能够协同 hPMSCs 对外周血 T 细胞分泌 IL-17 的上调作用, 且 PD-L1 和 PD-L2 具有协同作用。

参考文献:

- [1] Friedenstein AJ, Gorskaia JF, Kulagina NN. Fibroblast precursors in normal and irradiated mouse hematopoietic organs[J]. Exp Hematol, 1976, 4(5): 267-274.
- [2] Li G, Zhang XA, Wang H, et al. Comparative proteomic analysis of mesenchymal stem cells derived from human bone marrow, umbilical cord, and placenta: implication in the migration [J]. Proteomics, 2009, 9(1): 20-30.
- [3] Li J, Li D, Liu X, et al. Human umbilical cord mesenchymal stem cells reduce systemic inflammation and attenuate LPS-induced acute lung injury in rats[J/OL]. J Inflamm (Lond), 2012(1): 33.
- [4] Kisiel AH, McDuffee LA, Masaoud E, et al. Isolation, characterization, and *in vitro* proliferation of canine mesenchymal stem cells derived from bone marrow, adipose tissue, muscle, and periosteum [J]. Am J Vet Res, 2012, 73(8): 1305-1317.
- [5] Chang CJ, Yen M, Chen YC, et al. Placenta-derived multipotent cells exhibit immunosuppressive properties that are enhanced in the presence of interferon- γ [J]. Stem Cells, 2006, 24(11): 2466-2477.
- [6] 古彦铮, 薛群, 王泳, 等. 人胎盘源与人骨髓源间充质干细胞的生物学特性的比较及负性协同刺激分子 PD-L1 的表达[J]. 细胞与分子免疫学杂志, 2009, 5(25): 387-401.
- [7] 栾希英, 刘同慎, 曹奇志. 人胎盘源间充质干细胞对 T 细胞周期及其活化的抑制作用研究[J]. 中国现代医学杂志, 2008, 18(21): 3142-3151.
- [8] 王国艳, 张思英, 李广云, 等. 人胎盘源间充质干细胞对脐血 CD8⁺T 细胞活化及周期和 IL-17 分泌的影响[J]. 细胞与分子免疫学杂志, 2012, 28(1): 17-20.
- [9] 王国艳, 李广云, 王斐斐, 等. PD-L1 在人胎盘源间充质干细胞对脐血 CD8⁺T 细胞免疫调节中的作用 [J]. 中国免疫学杂志, 2012, 28(3): 221-225.
- [10] Komiyama Y, Nakae S, Matsuki T, et al. IL-17 plays an important role in the development of experimental autoimmune encephalomyelitis [J]. J Immunol, 2006, 177(1): 566-573.
- [11] 王静, 王兴兵, 汪健, 等. GVHD 患者外周血 Th17/Treg 细胞相关的细胞因子检测与临床意义[J]. 中国实验血液学杂志, 2011, 19(2): 422-426.
- [12] Guo Z, Zheng C, Chen Z, et al. Fetal BM-derived mesenchymal stem cells promote the expansion of human Th17 cells, but inhibit the production of Th1 cells [J]. Eur J Immunol, 2009, 39(10): 2840-2849.
- [13] Zhou HJ, Tsai SY, Tsai MJ. RNAi technology and its use in studying the function of nuclear receptors and coregulators[J/OL]. Nucl Recept Signal, 2003, 1: e008.
- [14] Charafe-Jauffret E, Monville F, Bertucci F, et al. Moesin expression is a marker of basal breast carcinomas [J]. Int J Cancer, 2007, 121(8): 1779-1785.